

ارزیابی خطر طغیان شط العرب در محدوده شهرستان بصره*

مقاله پژوهشی

حسین اعتمادفرد^(۱)نعمه الدیروای^(۲)حامد خرقانی^(۳)

چکیده رود شط العرب حدوداً به طول ۲۰۰ کیلومتر است و از به هم پیوستن دو رود دجله و فرات در شهر قزنه که در ۷۴ کیلومتری شمال غربی شهر بندری بصره در جنوب عراق واقع شده است، شکل می گیرد. این رود تحت تأثیر تغییرات اقلیمی، باران های مکرر و مستعد خطر و ریسک طغیان رود و هم چنین جاری شدن سیل است. حوضه رودخانه شط العرب در محدوده شهرستان بصره شاهد وقوع سیلاب ها و نتایج مخرب آن بوده است. هدف از این پژوهش ارزیابی و تحلیل مکانی خطر طغیان رود شط العرب در محدوده شهرستان بصره عراق با بهره گیری از سیستم اطلاعات مکانی (GIS) می باشد. در این پژوهش از GIS برای برآورد و ارزیابی مکانی و پهنه بندی مناطق طغیان رود شط العرب در منطقه بصره با بهره از داده های موجود استفاده خواهد شد. با مشخص نمودن انواع کاربری های اطراف رودخانه، تحلیل دقیقی از نحوه توزیع آن ها در مناطق با خطرپذیری مختلف ارائه می کند. نتایج نشان می دهد که کاربری زمین های کشاورزی با توجه به مساحت زیادی که دارند بیش از سایر کاربری ها در معرض خطر طغیان قرار دارد. نتایج این تحقیق می تواند تأثیر زیادی در پیشگیری از ایجاد صدمات جبرانناپذیر طغیان در این محدوده داشته باشد.

واژه های کلیدی تحلیل مکانی، طغیان رودخانه، سامانه اطلاعات مکانی، شط العرب، بصره..

مقدمه

جمعیت جهان و ۷۹٪ از تولید ناخالص داخلی جهانی را تشکیل

می دهند.

یکی از مهم ترین انواع سیل، به دلیل افزایش حجم آب رودخانه و عدم وجود فضای کافی برای انتقال حجم آب به وقوع می پیوندد که از آن به عنوان طغیان یاد می شود. طغیان رودخانه ها یکی از مهم ترین خطرات طبیعی در جهان است که صدمات اقتصادی زیادی به همراه دارد و انتظار می رود این خطر در آینده افزایش پیدا کند. وقوع این اتفاق را می توان به عوامل مختلفی نسبت داد که تغییرات آب و هوایی، رسوب گذاری در رودخانه ها، تغییرات انسانی به وجود آمده در خاک و کاربری زمین و هم چنین عوامل اجتماعی و اقتصادی از جمله آن است [4]. طغیان رودخانه ها یکی از پرهزینه ترین بلایای طبیعی هستند که در حوضه رودخانه ها، دلتاها و مناطق ساحلی مشاهده می شود [5]. درباره وقوع طغیان و فرایندهای منجر به ایجاد سیلاب رودها مطالعات زیادی انجام شده که خصوصیات مختلف این نوع سیلاب ها را بیان کرده و تغییرات احتمالی آن ها هنگام وقوع را بیان داشتند [6-9].

سیل یکی از متداول ترین، گسترده ترین و پرهزینه ترین بلایای طبیعی در جهان است. براساس گزارش سازمان ملل متحد، سیل در مقایسه با هر مخاطره دیگری بیشترین تلفات را به همراه دارد [1]. سیل را می توان به سه گروه طبقه بندی کرد: الف) سیل های ناگهانی که معمولاً در عرض ۶ ساعت پس از بارندگی شدید رخ می دهند، ب) طغیان رودخانه ها در دشت، ناشی از بارش های مداوم در مناطق بزرگ حوضه آبریز و ج) سیل های ساحلی، ناشی از طوفان های ساحلی که اغلب توسط چرخه های جزر و مدی تقویت می شوند [1]. در صورت وقوع سیل علاوه بر خسارت های جانی از نظر مالی نیز آسیب های زیادی به شهرها وارد می شود. به طور متوسط تا سال ۲۰۰۵ تا ۱۳۶ شهر ساحلی بزرگ سالانه ۶ میلیارد دلار خسارت سیل در جهان گزارش شده است که پیش بینی می شود تا سال ۲۰۵۰ تنها از طریق تغییرات اجتماعی و اقتصادی به ۵۲ میلیارد دلار افزایش یابد [2]. در یک مطالعه [3] اخیراً نشان داده شد که افزایش ۴ درجه سانتی گراد در دمای جهانی منجر به افزایش شدید خطر سیل (بیش از ۵ برابر از دوره پایه ۱۹۷۶-۲۰۰۵) در کشورهایی می شود که تقریباً ۷۳٪ از

* تاریخ دریافت مقاله ۱۴۰۰/۹/۲۶ و تاریخ پذیرش آن ۱۴۰۱/۳/۱ می باشد.

در زمینه مطالعات مشابه انجام شده داخلی می توان به پژوهش نگارش و همکاران [10] اشاره کرد که با استفاده از داده های بارش و دبی روزانه در یک دوره ۲۸ ساله شدت سیل خیزی حوضه کشکان را بررسی کردند که نتایج نشان داد روند تغییرات ضریب رواناب سالانه حوضه دارای رشد ۸۴ درصدی بوده است. زرگر و معصومی نژاد [11] با مطالعه بر روی رودخانه چناران بجنورد، کاربرد سامانه های اطلاعات مکانی (GIS) را در تعیین حد حریم و بستر رودخانه ها مورد بررسی قرار دادند و به پهنه بندی سیلاب در سطح این رودخانه پرداختند. در تحقیق دیگری اصلانی و مهدی پور [12] با به کارگیری GIS در پهنه استان تهران، به برنامه ریزی کاهش خطرپذیری سیلاب پرداختند. نتایج تحلیل داده های آن ها نشان می دهد آنچه باعث ایجاد ناامنی و خطر و مطرح شدن سیلاب ناشی از بارش به عنوان مخاطره و تهدید می شود، مکان گزینی نادرست و بی توجهی به حریم رودخانه ها و اشغال پهنه های سیل گیر توسط سکونت گاه هایی است که گاه به صورت غیرمجاز بنا شده است. فلاح زواره و همکاران [13] تأثیر عدم قطعیت توزیع مکانی بارش را بر روی مقدار دبی اوج سیلاب با استفاده از روش مونت کارلو مورد بررسی قرار دادند. همچنین با استفاده از روش تحلیل حساسیت اثر تداوم بارش را بر روی میزان دبی اوج تحلیل کردند. نتایج آن ها نشان دهنده تأثیر عمده عدم قطعیت ورودی های مدل بر روی نتایج شبیه سازی مدل بارش رواناب است. در پژوهشی قوامی و محمدی نیا [14] به پیش بینی مکانی مناطق سیل خیز استان گیلان با استفاده از GIS و هفت پارامتر دما، رطوبت، بارش، ارتفاع، شیب، پوشش گیاهی و فاصله از رودخانه پرداخته اند. آن ها از روش رگرسیون معمولی، روش ضریب هم بستگی پیرسون و رگرسیون وزن دار جغرافیایی استفاده کردند که روش آخر بهترین نتایج در پیش بینی مناطق سیل خیز ارائه نموده است.

همچنین از مطالعات پیشین خارجی می توان به پژوهش زیوبی و همکاران [15] اشاره کرد که به مطالعه تأثیر سیلاب بر سازه های شهری در شهر ساحلی بمبی در هند پرداختند. آن ها با استفاده از نقشه های تغییرات پوشش سطح زمین و کاربری اراضی، نقشه خطر سیل برای کاربری های اراضی مختلف را با مدل هیدرولیکی HEC-RAS تهیه کردند. نتایج نشان داد

نقشه های پهنه بندی سیل توسط مدل HEC-RAS برای برآورد سیلاب و خطر سیل بسیار مؤثر است. کالیانوپا و همکاران [16] در کارولینای شمالی با استفاده از چهارچوب مونت کارلو برای تجزیه و تحلیل عدم قطعیت پرداختند و نتایج نشان داد در مواقعی که از سازه های کنترل سیلاب استفاده می شود تا ۸۰/۴ درصد نسبت به وضع موجود کاهش خسارت مورد انتظار سالانه (EAD) را پیش بینی کردند. سنت- جورج و همکاران [17] در فرانسه به منظور رتبه بندی منابع عدم قطعیت در مدل سازی خسارت سیل با تجزیه و تحلیل منابع عدم اطمینان از طریق زنجیره مدل سازی به ارزیابی عدم قطعیت با استفاده از روش مونت کارلو پرداختند و نشان دادند رتبه بندی عدم اطمینان بستگی به بخش اقتصادی (مسکن خصوصی، زمین کشاورزی، فعالیت های اقتصادی) دارد عدم قطعیت در منحنی عمق- خسارت قابل توجه است. وو و همکاران [18] مدل های هیدرودینامیک تک بعدی و دوبعدی را با GIS به صورت مکانی-زمانی به منظور شبیه سازی پویای ریسک های سیل تلفیق کردند. در این سامانه پشتیبانی تصمیم، یک مدل سه بعدی از ناحیه مطالعه و امکانات مهندسی هیدرولیک با استفاده از فناوری مدل سازی سه بعدی مبتنی بر تصویربرداری به سرعت می تواند ایجاد شود. مبتنی بر این چهارچوب، یک پلتفرم داده های مکانی-زمانی چندمنبعی برای شبیه سازی های ریسک سیل برای مخزن ژیاشان در رود ویهه به عنوان مطالعه موردی توسعه یافت. نتایج ارزیابی مدل در مقاله وو و همکاران [18] نشان داد تلفیق مدل های هیدرودینامیک و GIS بازده شبیه سازی های ریسک سیل را برای پشتیبانی تصمیم هم چون شبیه سازی های بصری پویا و شبیه سازی های سیل شکست سد می تواند بهبود بخشد. مونیر و همکاران [19] یک مدل هیدرولوژیکی و یک مدل هیدرولیکی مبتنی بر برآوردهای استخراج شده از GIS و سنجش از دور را به منظور شبیه سازی پاسخ جریان مسیل سیلابی به رویدادهای سیل های ناگهانی در پاکستان تلفیق ساختند. این مطالعه با استفاده از تلفیق تکنیک سنجش از دور و GIS پارامترهای هیدرولوژیکی مختلف را برای مدل ها در یک سطح پیکسل استخراج ساختند. تلفیق این مدل ها مشخص شد که توانایی شبیه سازی درجات و شرایط سیل های ناگهانی به طور دقیق تر را داراست. این دو مطالعه مشخص ساخت

کمی بهره گرفته شده است. داده‌های این تحقیق شامل کاربری‌های زمین در اطراف رود و مسیر رودخانه از تصاویر ماهواره‌ای احصا شده است و مشخصات هندسی رودخانه شامل عمق و عرض و ارتفاع رودخانه در مقاطع مختلف از نماینده وزارت منابع آب عراق در شهرستان بصره به دست آمده است. روش‌های به کار گرفته شده، تکنیک‌های تحلیل‌های مکانی در محیط GIS با استفاده از نرم‌افزارهای برنامه‌نویسی تعیین هم‌بستگی میان ارتفاع آب در ابتدا و انتهای شط‌العرب انجام شده است.

محدوده مطالعه

شهر بصره به عنوان بزرگ‌ترین بندر عراق در امتداد شط‌العرب ایجاد شده است و با جمعیت تقریبی ۳ میلیون نفر سومین شهر بزرگ کشور عراق و مرکز استان بصره است. بصره در ۵۵ کیلومتری خلیج فارس و در ۵۴۵ کیلومتری بغداد است. مناطق اطراف بصره دارای منابع مهم نفتی و همچنین مناطق حاصل‌خیز کشاورزی است. شکل (۱) استان بصره به همراه شهرستان‌های آن را نشان می‌دهد.

رودخانه شط‌العرب یکی از مهم‌ترین منابع آب شیرین است که به خلیج فارس می‌ریزد که از تلاقی رودهای دجله و فرات در منطقه کرمه علی تشکیل می‌شود. عرض جریان شط‌العرب بین ۲۰۰ متر تا بیش از ۲ کیلومتر است و عمق آن ۸ تا ۱۵ متر متغیر است. درازای این رود از قرنه تا ریزشگاه آن در خلیج فارس حدود ۱۹۰ کیلومتر است. ریزشگاه رود در میان شهر ایرانی اروندکنار و شهر عراقی فاو است. بصره، خرمشهر، آبادان، خسروآباد و فاو از جمله بندرهای مهم این آب‌راه هستند که نقش چشم‌گیری در رونق بازرگانی منطقه دارند. هم‌اکنون ۸۱ کیلومتر از ۱۷۵ کیلومتر طول این رود - از محل پیوستن نهر خین به این رودخانه تا مصب آن در خلیج فارس - مرز مشترک ایران و عراق به‌شمار می‌آید.

داده‌ها

به منظور بررسی خطر وقوع سیل در رودخانه شط‌العرب ابتدا نیاز به داده‌های معرفی‌کننده این رود شامل عرض رودخانه، ارتفاع و عمق در مقاطع مختلف است. مختصات دو سمت رودخانه در هر مقطع به همراه عمق و ارتفاع آب نسبت به سطح دریا از نماینده وزارت منابع آب عراق در شهرستان بصره و همچنین برداشت‌های میدانی تهیه شده است. با استفاده از

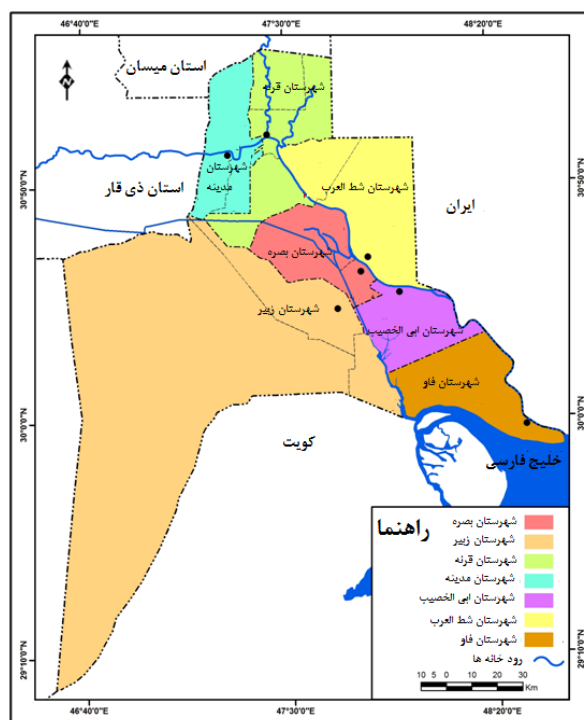
تلفیق مدل‌ها با روش‌های تحلیل مکانی- زمانی بازده و دقت شبیه‌سازی‌های سیل را برای مدیریت سیل می‌تواند بهبود بخشد. در تحقیق حاضر، به مطالعه ریسک‌پذیری مناطق اطراف رودخانه شط‌العرب واقع در شهرستان بصره کشور عراق پرداخته شد. این امر ابتدا با مطالعه مشخصات رودخانه و گردآوری داده‌های مورد نیاز که شامل عمق و عرض رودخانه در ۱۲ مقطع عرضی رودخانه بود، صورت گرفت و هم‌زمان داده‌های کاربری آن مناطق از طریق تصاویر ماهواره‌ای استخراج شد. از آن‌جا که این رودخانه به دلیل موقعیت مناسب و کاربردی، کاربری‌های مختلفی از جمله کشاورزی، مسکونی، صنعتی، اسکله، تجاری و پارک را در خود جای داده است، ضروری است مطالعات بیشتر برای شناسایی محدوده‌های پُریسک و به دنبال آن اندیشیدن تدابیر مناسب به منظور حفظ ارزش‌های جانی و مالی صورت گیرد. از نوآوری‌های این تحقیق، تعیین معیارهای مورد نظر برای تخمین طغیان رودخانه است. پس از تعیین آن‌ها بایستی پهنه‌بندی حرایم رود براساس فواصل مشخصی انجام گردد که مشخص و معرفی کردن پنج کلاس برای نواحی حریم با میزان خطر متفاوت از دیگر موارد نوآوری این تحقیق است. در نهایت نیز ارزیابی و پهنه‌بندی خطر طغیان شط‌العرب در محدوده شهرستان بصره که از منظر کشاورزی، توزیع جمعیت و بندری محدوده‌ای بسیار ذی‌قیمت است، به عنوان مستندی در اختیار وزارت منابع آب عراق قرار خواهد گرفت تا برای اولین بار در آن کشور از این پهنه‌بندی برای تعیین راهکارهای مدیریتی و اجرایی مورد استفاده قرار بگیرد.

مواد و روش‌ها

این پژوهش از لحاظ هدف کاربردی می‌باشد و منطقه مورد مطالعه آن حوضه رود شط‌العرب در محدوده شهرستان بصره عراق (به طول جغرافیایی ۴۷ درجه و ۲۶ دقیقه و ۲۹ ثانیه شرقی و عرض جغرافیایی ۳۱ درجه و ۱۷ ثانیه شمالی) می‌باشد. روش مورد استفاده در این پژوهش روش تحلیلی کمی و تفسیری مبتنی بر داده‌های پژوهش است. بعد از جمع‌آوری داده‌های مربوطه با استفاده از نرم‌افزارهای مختلف تحلیل‌های مکانی انجام می‌شود و سپس براساس اطلاعات حاصل شده تحلیل‌ها و تفسیرهای لازم بر روی نتایج انجام می‌پذیرد. با توجه به این‌که در پژوهش حاضر داده‌ها از طریق ابزارهای تحلیل کمی که روش‌های آماری و ریاضی برای جمع‌آوری داده‌ها هستند تهیه شدند از روش‌های

از تصاویر ماهواره‌ای و عملیات رقومی سازی تهیه شده است. جدول (۱) مختصات مقاطع مورد بررسی را به نمایش می‌گذارد.

مختصات دو سمت رودخانه، در نرم‌افزار ArcMap مشخصه عرض حاصل شده است. لایه‌های GIS مربوط به شهرستان بصره و مسیر رودخانه شط العرب نیز برای تحلیل‌های مکانی با استفاده



شکل ۱ نقشه استان بصره به همراه شهرستان‌های این استان

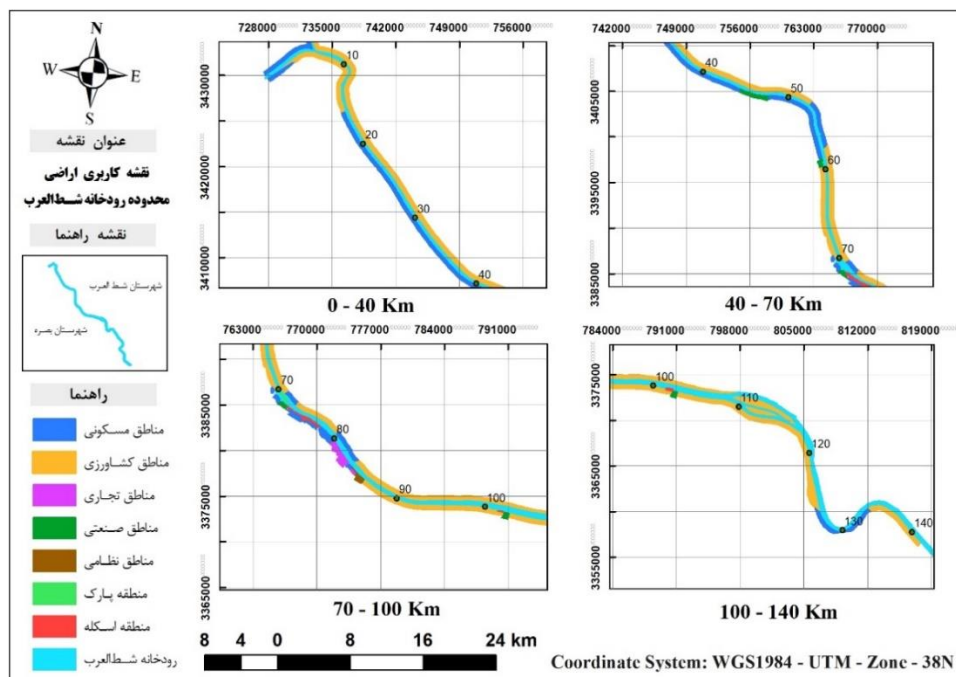
جدول ۱ مختصات ۱۲ مقطع شط العرب مورد بررسی در پژوهش

شماره مقطع	X ₁	Y ₁	X ₂	Y ₂
۱	۷۳۳۲۲۲	۳۴۳۲۵۸۴	۷۳۳۲۷۹	۳۴۳۲۷۰۳
۲	۷۳۸۱۶۰	۳۴۳۰۳۰۸	۷۳۶۹۷۱	۳۴۳۰۲۹۴
۳	۷۳۸۱۶۴	۳۴۲۱۹۱۵	۷۳۹۰۳۰	۳۴۲۲۰۳۴
۴	۷۴۶۰۶۳	۳۴۱۱۶۶۵	۷۴۶۲۵۴	۳۴۱۱۷۹۸
۵	۷۵۰۸۶۶	۳۴۰۷۳۴۰	۷۵۰۸۰۲	۳۴۰۷۱۹۱
۶	۷۵۸۳۷۲	۳۴۰۴۶۹۷	۷۵۸۳۶۵	۳۴۰۴۸۲۹
۷	۷۶۴۰۹۳	۳۳۹۷۵۶۱	۷۶۴۲۹۱	۳۳۹۷۶۰۵
۸	۷۸۱۳۷۶	۳۳۸۴۲۶۳	۷۸۱۲۶۱	۳۳۸۴۰۴۶
۹	۷۷۲۵۷۶	۳۳۸۰۳۰۴	۷۷۲۹۱۰	۳۳۸۰۴۹۲
۱۰	۷۷۹۷۸۹	۳۳۷۴۳۷۹	۷۷۹۸۷۹	۳۳۷۴۶۴۳
۱۱	۸۰۹۲۲۱	۳۳۵۷۹۴۸	۸۰۹۱۶۹	۳۳۵۸۱۷۸
۱۲	۸۱۴۹۹۴	۳۳۵۹۸۶۱	۸۱۵۳۴۴	۳۳۶۰۱۹۲

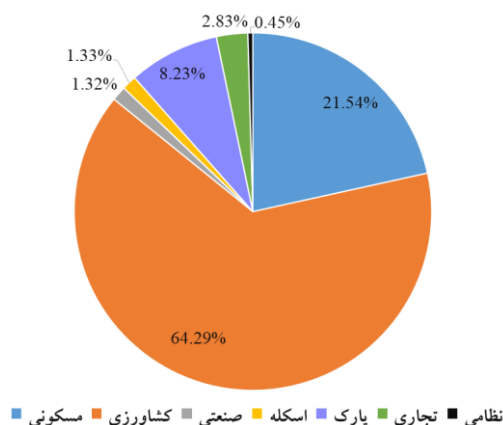
پیاده‌سازی

انجام تحلیل‌های مکانی مناسب وابسته به تعیین کاربری‌های اراضی اطراف رودخانه شط‌العرب است. به دیگر بیان از آنجایی که میزان صدمات ناشی از وقوع طغیان در مناطقی با کاربری‌های گوناگون یکسان نیست بایستی در طول مسیر رودخانه کاربری‌های اراضی تعیین گردد. این کار با استفاده از تصاویر ماهواره‌ای و رقومی کردن توسط نگارندگان انجام شده‌است و

هم‌چنین پاره‌ای از موارد از بازدیدهای میدانی محاسبه شده‌است. با در نظر گرفتن هفت نوع کاربری مختلف که در اطراف رودخانه وجود دارند و شامل مناطق تجاری، نظامی، اسکله، پارک، صنعتی، کشاورزی و مسکونی می‌شود، شکل (۲) توزیع این کاربری‌ها را در اطراف رودخانه نشان می‌دهد. با توجه به مطالعات پیشین و خرابی‌های ناشی از سیل‌های گذشته فاصله ۵۰۰ متری اطراف رودخانه برای تعیین کاربری‌های اراضی مورد بررسی قرار گرفته‌است.



شکل ۲ کاربری‌های اراضی اطراف رودخانه شط‌العرب



شکل ۳ سهم هر کاربری از مساحت کل منطقه مورد مطالعه برحسب درصد

جدول ۲ شاخص‌های معرفی شده برای مقاطع رودخانه شطالعرب

شماره مقطع	عرض	عمق	حاصل ضرب عرض در عمق
۱	۱۳۲	۱۰/۷۵	۱۴۱۹
۲	۱۱۱	۱۰/۵۰	۱۱۶۵/۵۰
۳	۲۰۴	۱۱	۲۲۴۴
۴	۲۳۲	۱۱/۵۰	۲۶۶۸
۵	۱۶۲	۱۱/۵۰	۱۸۶۳
۶	۱۳۲	۱۲	۱۵۸۴
۷	۲۰۳	۱۲/۵۰	۲۵۳۷/۵۰
۸	۲۴۵	۱۵	۳۶۷۵
۹	۳۸۳	۱۴	۵۳۶۲
۱۰	۲۷۸	۹	۲۵۰۲
۱۱	۲۳۶	۱۳	۳۰۶۸
۱۲	۴۸۲	۲۴	۱۱۵۶۸

در عمق رودخانه برای ارزیابی میزان خطر طغیان شطالعرب استفاده شده است.

با فرض این که در بزرگ‌ترین سطح مقطع رودخانه، دقیقاً مساحت اشغال شده توسط آب، به اندازه شاخص سوم جدول (۲) باشد، می‌توان سایر مقاطع را از نظر خطر وقوع طغیان رودخانه ارزیابی نمود. به بیانی دیگر با در شرف سرریز بودن مقطعی با بیشترین گنجایش (مقطع شماره ۱۲) و قرار گرفتن آن در کلاسی با خطر طغیان بسیار کم، طبقه‌بندی سایر مناطق اطراف رود را می‌توان انجام داد. جدول (۳) دسته‌بندی خطرپذیری طغیان را براساس معیار تعریف شده، با نظر کارشناسان این زمینه کاری در ۵ کلاس نمایش می‌دهد. این ۵ کلاس با استفاده از نظرات خبرگان محلی انتخاب شده است. آن‌ها علاوه بر آشنایی بر توپوگرافی و مدل ارتفاعی زمین و ساختمان‌ها در محدوده مطالعاتی، سابقه طغیان رودخانه مورد نظر را نیز در نظر گرفته‌اند. نظرات آن‌ها در فرم‌های نظرسنجی جمع‌آوری شده و با میانگین‌گیری از کران‌های دسته‌ها محدوده‌ها تعیین شدند. کلاس‌بندی پیشنهادی، تنها برای این محدوده مطالعاتی با ویژگی‌های توپوگرافی، پوشش گیاهی و عوارض جغرافیایی قابل استفاده بوده و می‌تواند به عنوان معیاری جهت تحلیل‌های مکانی کاربری‌های اطراف رود استفاده شود. محققان بایستی برای نواحی دیگر شرایط و کلاس‌های خاص آن منطقه را در نظر گیرند.

در شکل (۲) مشخص است که بیشتر مناطق اطراف رودخانه شطالعرب را کاربری‌های کشاورزی تشکیل می‌دهد. این زمین‌ها تقریباً در تمام طول مسیر رود وجود دارند. مناطق مسکونی پس از مناطق کشاورزی بیشترین سهم زمین‌های اطراف رودخانه را به خود اختصاص می‌دهد که با توجه به امکان صدمه جانی در این مناطق در صورت بروز طغیان دارای اهمیت بسیار زیادی هستند. شکل (۳) سهم هر یک از کاربری‌های اطراف شطالعرب را از مساحت کل منطقه مورد مطالعه برحسب درصد نشان می‌دهد.

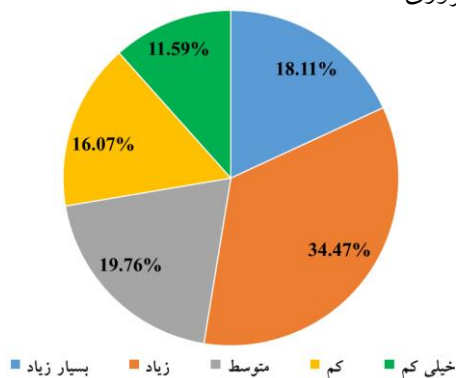
برای تعیین میزان خطرپذیری وقوع سیل در طول مسیر نیاز به انتخاب شاخص‌های مناسب است. با توجه به تأثیر مستقیم ابعاد هندسی هر مقطع از رود در گنجایش حجم آب عبوری، عرض و عمق رود به عنوان دو شاخص اولیه انتخاب می‌شود. از آنجایی که عمق و عرض به تنهایی نمی‌توانند شاخص مناسبی باشند لذا برای رسیدن به شاخصی قابل قضاوت از ضرب عرض و عمق در یکدیگر به عنوان شاخص اصلی استفاده شده است. از طرف دیگر با توجه به توپوگرافی نسبتاً هموار در محدوده مطالعاتی این شاخص مبین ویژگی‌های موردنظر تحقیق است. جدول (۲) سه شاخص مورد استفاده برای ارزیابی میزان خطر را نشان می‌دهد. در پژوهش حاضر از شاخص حاصل ضرب عرض

جدول ۳ دسته‌بندی ارزیابی خطر وقوع طغیان

عنوان کیفی دسته خطرپذیری	مقدار شاخص سطح مقطع رودخانه (مترمربع)
بسیار زیاد	۱۵۰۰-۲۰۰۰
زیاد	۲۰۰۰-۴۰۰۰
متوسط	۴۰۰۰-۷۰۰۰
کم	۷۰۰۰-۹۰۰۰
خیلی کم	۹۰۰۰-۱۱۰۰۰

نتایج و بحث

نسبت به سایر دسته‌ها در خود جای داده‌است. بیشتر از ۵۰ درصد مساحت زمین‌های این کاربری در مناطق مربوط به دو دسته اول خطر طغیان قرار دارند. همان‌طور که در جدول (۴) و همچنین شکل (۴) نشان داده شده‌است، مساحت مناطقی موجود در خطر طغیان خیلی کم، نسبت به سایر دسته‌ها کمترین سهم را دارد. این مورد حاکی از آن است که در صورت بروز طغیان، بخش اندکی از زمین‌های کشاورزی اطراف شط‌العرب، از شانس مناسب برای در امان ماندن از آسیب‌های احتمالی برخوردار هستند. فلذا مدیریت و اطلاع‌رسانی صحیح قبل از وقوع حادثه در این کاربری امری ضروری است.



شکل ۴ توزیع آماری مناطق کشاورزی اطراف شط‌العرب برحسب

درصد جدول (۵) نشان می‌دهد توزیع آماری زمین‌های با کاربری مسکونی در مناطقی با ریسک‌های مختلف به چه شکل است. از بین ۱۴ منطقه مسکونی موجود در اطراف شط‌العرب ۲ منطقه در شرایطی با خطرپذیری بسیار زیاد است که مساحتی در حدود ۸۱۲ هکتار را دارا می‌باشد. شکل (۵) توزیع آماری محدوده‌های مسکونی در دسته‌های مختلف خطرپذیری اطراف شط‌العرب را برحسب درصد نشان می‌دهد. تنها دو منطقه مسکونی در اطراف شط‌العرب در مناطقی با خطرپذیر کم و خیلی

استفاده از روش‌های تحلیلی مکان‌محور با استفاده از GIS برای استخراج نتایج مختلف از پژوهش‌های انجام‌شده، در کمک به فرایند تصمیم‌گیری مدیران و بهبود عملکرد در پیشگیری از خطر طغیان و صدمات بعدی آن بسیار تأثیرگذار است. در این تحقیق از نرم‌افزارهای متداول برای تحلیل‌های مکانی و آماری استفاده شده‌است. در محیط GIS تعداد هریک از کاربری‌ها که در کلاس‌های مختلف خطرپذیری وجود دارد، احصای گشته‌است. همچنین جداول آماری و نمودارهای هریک از کاربری‌ها حاصل شده‌است. جدول (۴) نشان می‌دهد توزیع زمین‌های با کاربری کشاورزی در مناطقی با ریسک‌های مختلف به چه نحو است. از بین ۲۷ منطقه کشاورزی موجود در اطراف شط‌العرب ۳ منطقه در شرایطی با خطرپذیری بسیار زیاد است که مساحتی در حدود ۲۴۲۷ هکتار را دارا می‌باشد.

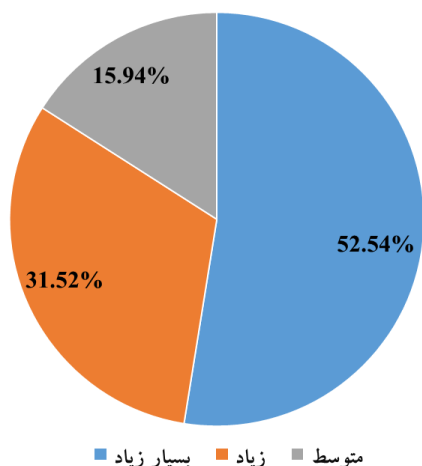
جدول ۴ توزیع آماری کاربری کشاورزی در خطرپذیری‌های

مختلف برحسب هکتار

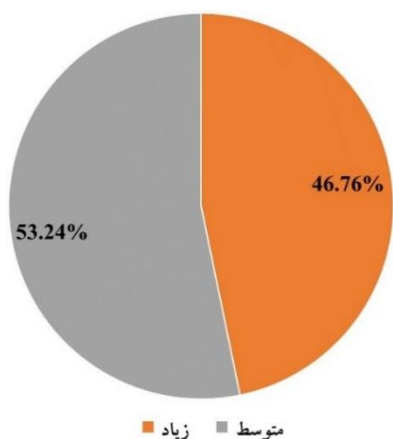
مناطق کشاورزی		
خطر	مجموع مساحت (هکتار)	تعداد
بسیار زیاد	۲۴۲۷	۳
زیاد	۴۶۲۰	۷
متوسط	۲۶۴۹	۷
کم	۲۱۵۴	۶
خیلی کم	۱۵۵۴	۴

شکل (۴) توزیع آماری محدوده‌های کشاورزی در دسته‌های مختلف خطرپذیری اطراف شط‌العرب را برحسب درصد نشان می‌دهد. دسته با عنوان خطرپذیری زیاد بیشترین مساحت را

حدود ۱۴۵ هکتار را دارا می‌باشد و بیش از ۵۰ درصد مساحت این منطقه را شامل می‌شود. از سه منطقه دیگر نیز که هریک مساحتی برابر دارند، دو مورد در خطر زیاد و یک مورد در خطر متوسط قرار دارد. مناطق صنعتی در خطرپذیری طغیان کم و خیلی کم قرار ندارند و این بدان معناست که در احداث مناطق صنعتی، توجه کافی به پدیده طغیان و احتمال بروز خسارات ناشی از وقوع آن نشده‌است.



شکل ۶ توزیع آماری مناطق صنعتی اطراف شطالعرب بر حسب درصد



شکل ۷ توزیع آماری مناطق اسکله اطراف شطالعرب بر حسب

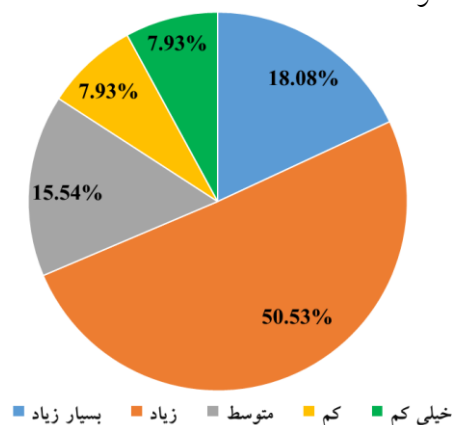
منطقه اسکله رودخانه شطالعرب از نظر موقعیت مکانی به‌صورت پراکنده نیست اما در دو دسته خطر زیاد و متوسط قرار گرفته‌است. این منطقه به‌دلیل کشتی‌رانی در شطالعرب دارای اهمیت بالایی است و جز مناطق استراتژیک محدوده مورد مطالعه است که حفاظت از آن در برابر طغیان اهمیت بالایی دارد. شکل

کم قرار گرفته‌است که در مجموع حدود ۱۶ درصد مساحت کل مناطق مسکونی اطراف رود است (شکل ۵). درحالی‌که بیش از ۵۰ درصد مساحت این کاربری در خطرپذیری زیادی قرار دارند.

جدول ۵ توزیع آماری کاربری مسکونی در خطرپذیری‌های مختلف برحسب هکتار

مناطق مسکونی		
خطر	مجموع مساحت (هکتار)	تعداد
بسیار زیاد	۸۱۲	۲
زیاد	۲۲۷۰	۶
متوسط	۶۹۸	۴
کم	۳۵۶	۱
خیلی کم	۳۵۶	۱

همان‌طور که در شکل (۵) مشخص است، بیشتر مناطق مسکونی در خطرهای زیاد و خیلی زیاد وقوع طغیان هستند. مناطق مسکونی اطراف شطالعرب عموماً در نزدیکی شهرهای مهم اطراف رودخانه مانند بصره قرار دارد و با توجه به این‌که در مناطق مسکونی تعداد افراد بیشتری زندگی می‌کنند، حتماً باید تدابیر لازم برای جهت جلوگیری از صدمات جانی و مالی اندیشیده شود.



شکل ۵ توزیع آماری مناطق مسکونی اطراف شطالعرب بر حسب درصد

شکل (۶) توزیع زمین‌های با کاربری صنعتی در مناطق با ریسک‌های مختلف وقوع طغیان را برحسب درصد نشان می‌دهد از بین چهار منطقه صنعتی موجود در اطراف شطالعرب یک منطقه در شرایطی با خطرپذیری بسیار زیاد است که مساحتی در

خواهد کرد. جدول (۶) توزیع آماری انواع کاربری‌ها با میزان خطرپذیری مختلف دومین کاربری از نظر میزان مساحت واقع در محدوده خطر، مناطق با کاربری مسکونی می‌باشند که حدود ۴۵۰۰ هکتار مساحت را تا شعاع ۵۰۰ متری رود تشکیل می‌دهند. از این مقدار مساحت، حدود ۳۸۰۰ هکتار در محدوده با میزان ریسک متوسط تا بسیار زیاد وقوع سیل قرار دارد. از میان کاربری‌های موجود، کاربری مسکونی از بالاترین میزان حساسیت برخوردار است به طوری که در اغلب مواقع صدمات وارد به آن جبران‌ناپذیر است. قرارگیری این میزان مساحت از کاربری مسکونی در محدوده پر ریسک وقوع سیل، می‌تواند خسارات جانی و مالی شدیدی به بار آورده و به تخریب منازل و اموال ساکنین مجاور منجر شود. با مقایسه میدانی مشخص شد که مناطقی با کاربری‌های مختلف که در نتایج حاصل، در دسته‌های خطرپذیری خیلی زیاد و زیاد قرار گرفته‌اند، در طغیان‌های گذشته بیشتر دچار صدمه شده‌اند.

نتیجه‌گیری

در حوضه رودخانه شط‌العرب واقع در استان بصره، باتوجه به این که روستاها، اراضی زراعی و تأسیسات احداث شده در حاشیه رودخانه همواره در معرض خطر طغیان سیل قرار دارند، ارزیابی و تحلیل مکانی نواحی مستعد طغیان رودخانه و تهیه نقشه پهنه‌های سیل‌گیر در این محدوده ضرورت دارد که این تحقیق سعی بر این داشته‌است برای اولین بار به تحلیل این منطقه بپردازد.

(۷) توزیع آماری کاربری اسکله در دسته‌های مختلف خطرپذیری را برحسب درصد نشان می‌دهد.

درصد تنها یک پارک با مساحت ۱۷۱۵ هکتار در محدوده مورد مطالعه وجود دارد که در بخش خطر طغیان زیاد قرار دارد. به علت موقعیت خاص این پارک که در میان رود قرار گرفته‌است، باید با پیش‌بینی زمان وقوع طغیان از تعطیل بودن پارک اطمینان حاصل نمود تا صدمات جانی به حداقل برسد.

هم‌چنین در بررسی کاربری تجاری مشخص می‌شود که تمامی مناطق تجاری محدود مورد مطالعه در کنار یکدیگر جمع شده‌اند، از نظر میزان خطر طغیان نیز در یک دسته قرار گرفته و دارای خطر متوسط هستند.

در نهایت منطقه نظامی شط‌العرب نیز با مساحت ۹۴ هکتار در بخش خطرپذیری خیلی کم قرار گرفته‌است که نشان از موقعیت مناسب آن دارد.

در جدول (۶) نمای کلی وضعیت هرکدام از کاربری‌های مجاور رود شط‌العرب به همراه مقدار مساحت دسته‌بندی شده و تحت خطر را نشان می‌دهد. با استفاده از این جدول امکان مقایسه بین خطرپذیری طغیان کاربری‌های مختلف فراهم است.

بخش بزرگی از مساحت مجاورت این رودخانه را مناطق با کاربری کشاورزی پوشش می‌دهند که در این میان، بیش از ۷۰ درصد مناطق این کاربری با مساحت حدود ۹۷۰۰ هکتار در طبقه میزان ریسک متوسط تا بسیار زیاد وقوع سیل قرار دارد. در صورت طغیان رود و جاری شدن سیل این مناطق بیشتر از سایر کاربری‌ها تحت تأثیر قرار خواهند گرفت. وقوع این رخداد، به زمین‌های زراعی و کشاورزی آسیب وارد می‌کند و کشت محصول و تأمین مواد غذایی مناطق اطراف را با مشکل روبه‌رو

جدول ۶- توزیع آماری انواع کاربری‌ها با میزان خطرپذیری مختلف

میزان ریسک	مساحت به تفکیک کاربری (هکتار)					
	کشاورزی	مسکونی	صنعتی	اسکله	پارک	تجاری
بسیار زیاد	۲۴۲۷	۸۱۲	۱۴۵	۰	۰	۰
زیاد	۴۶۲۰	۲۲۷۰	۸۷	۱۳۰	۱۷۱۵	۰
متوسط	۲۶۴۹	۶۹۸	۴۴	۱۴۸	۰	۵۹۱
کم	۲۱۵۴	۳۵۶	۰	۰	۰	۰
خیلی کم	۱۵۵۴	۳۵۶	۰	۰	۰	۹۴

عمق مقاطع که از قبل حاصل شده بود، سطح مقطع رودخانه به عنوان شاخص ارزیابی خطر طغیان به دست آمد. در گام بعدی با استفاده از این شاخص طبقه بندی خطر طغیان در محدوده ۵۰۰ متری از شطالعرب انجام شد. استفاده اصلی GIS در این پژوهش در بررسی وضعیت قرارگیری کاربری های اطراف رود در هر یک از طبقات خطرپذیری طغیان شطالعرب بود که به خوبی مساحت و تعداد مناطق هر کاربری در هر یک از طبقات خطرپذیری مشخص شد. کاربرد دیگر GIS در دسته بندی و بصری سازی کاربری های اطراف رودخانه بود. پیشنهاد می شود در تحقیقات آتی میزان طغیان رودخانه با استفاده از روش های شبکه عصبی بررسی و برآورد گردد و از مدل های هیدرولیکی بهره گرفته شود. همچنین وجود مدل رقومی ارتفاعی مناسب از محدوده مورد مطالعه سبب تدقیق نتایج می شود.

در این مطالعه با فرض به وجود آمدن جریانی که بزرگترین سطح مقطع رودخانه را کاملاً از آب پر کند، وضعیت طغیان رود در مقاطع دیگر بررسی گردید. این مقطع در دسته خطر طغیان بسیار کم جای داده شده و شاخص سطح مقطع رودخانه در مقاطع دیگر محاسبه شد. به کمک نتایج حاصل می توان دریافت که در کدام منطقه با چه کاربری میزان طغیان تا چه اندازه جدی و مخاطره آمیز است. در نتایج حاصل از تحقیق تمامی کاربری های موجود به همراه میزان مساحت آن ها در پنج طبقه کیفی خیلی کم، کم، متوسط، زیاد، خیلی زیاد دسته بندی شده اند؛ که هر کدام از این دسته ها نماد کیفی بازه معینی از شاخص سطح مقطع است. نتایج این تحقیق نشان دهنده این است که GIS به عنوان ابزاری کارآمد در تحلیل های مکانی نقش ایفا کرده است. با استفاده از GIS عرض مقاطع رودخانه مشخص شد و سپس با استفاده از

مراجع

1. Iqbal, U., Perez, P., Li, W., & Barthelemy, J., "How computer vision can facilitate flood management: A systematic review", *International Journal of Disaster Risk Reduction*, No. 53, p. 102030, (2021).
2. Mohanty, M. P., H, V., Yadav, V., Ghosh, S., Rao, G. S., & Karmakar, S., "A new bivariate risk classifier for flood management considering hazard and socio-economic dimensions", *Journal of Environmental Management*, 255, 109733. doi:10.1016/j.jenvman.2019.109733, (2020).
3. Alfieri, L., Bisselink, B., Dottori, F., Naumann, G., Wyser, K., Feyen, L., Roo, A. De, de Roo, A., Salamon, P., Wyser, K., Feyen, L., "Earth's Future Global projections of river flood risk in a warmer world", *Earth's Futur.* 5, pp. 171–182, (2017).
4. Mel, R. A., Viero, D. P., Carniello, L., & D'Alpaos, L., "Optimal floodgate operation for river flood management: The case study of Padova (Italy)", *Journal of Hydrology: Regional Studies*, No. 30, p. 100702, (2020).
5. Gamble, D. W., & Meentemeyer, V. G., "A synoptic climatology of extreme unseasonal floods in the southeastern United States, 1950-1990", *Physical Geography*, No. 18(6), pp. 496–524, (1997).
6. Hirschboeck, K. K., "Hydroclimatically-defined mixed distributions in partial duration flood series. In Hydrologic frequency modeling: Proceedings", (1987).
7. Merz, B., Aerts, J., Arnbjerg-Nielsen, K., Baldi, M., Becker, A., Bichet, A., Nied, M., "Floods and climate: Emerging perspectives for flood risk assessment and management", *Natural Hazards and Earth System Sciences*, No. 14(7), pp. 1921–194, (2014).
8. Shareef, M., & Abdulrazzaq, D., "Civil Engineering Journal River Flood Modelling For Flooding Risk Mitigation in Iraq", *Civil Engineering Journal*. 7. 1702-1715. 10.28991/cej-2021-03091754. (2021).
9. Hirschboeck, K. K., "Future Hydroclimatology and the research challenges of a Post-stationary world", *Journal of Contemporary Water Research & Education*, No. 142(1), pp. 4–9, (2009).

10. Negaresh, H., Tavoosi, T., & Mahdinasab, m., "Investigating the severity of flooding in the Kashkan River catchment area", *Journal of Natural geography*, No. 4(13), pp. 49-58, (2011). (In Persian)
11. Zargar, M., Masominezhad, A., "The application of GIS in the studies of determining the boundaries and bed of rivers, a case study: the catchment area of Chenaran River", *The 4th Iran Water Resources Management Conference.*, Amirkabir university of technology, Iran, (2011). (In Persian)
12. Aslani, F., Mehdipour, H., "Planning for Flood Risk Reduction by Using GIS Technique in Tehran Province", *Disaster Prevention and Management Knowledge*, No. 5 (3), pp. 173-185, (2015). (In Persian)
13. Falahzavareh, F., Saghafian, B., Behzadian, K., "Estimation of the flood hydrograph using the SWMM model, taking into account the uncertainty of the spatial distribution of precipitation using the Monte Carlo method", *9th International Congress on Civil Engineering*, Isfahan, Iran, (2012). (In Persian)
14. Ghavami, Z., Mohammadinia, A., "Spatial prediction of flood prone areas using geospatial information system", *The 4th national conference on the application of GIS in the water and electricity industry*, Arak, Iran, (2017). (In Persian)
15. Zope, P.E. Eldho, T.I. Jothiprakash, V., "Impacts of urbanization on flooding of a coastal urban catchment: a case study of Mumbai City, India", *Journal of Natural Hazards*, January 2015, Vol. 75, Issue 1, pp. 887-908, (2015).
16. Kalyanapu, A. J., Judi, D.R., McPherson, T. N., "Monte Carlo-based flood modelling framework for estimating probability weighted flood risk", *Journal of Flood Risk Management*, No. 5(1), pp. 37-48, (2012).
17. Saint-Geours, N., Grelot, F., Bailly, J. S., Lavergne, C., "Ranking sources of uncertainty in flood damage modelling: a case study on the cost-benefit analysis of a flood mitigation project in the Orb Delta, France", *Journal of Flood Risk Management*, No. 8, pp. 161-176, (2015).
18. Wu, Y., Peng, F., Peng, Y., Kong, X., Liang, H. and Li, Q., "Dynamic 3D Simulation of Flood Risk Based on the Integration of Spatio-Temporal GIS and Hydrodynamic Models", *ISPRS Int. J. Geo-Inf.*, No. 8, p. 520, (2019).
19. Munir, B.A., Ahmad, S.R., Hafeez, S., "Integrated hazard modeling for simulating torrential stream response to flash flood events", *ISPRS Int. J. Geo-Inf.*, 9, (2019).

